

ВІЗУАЛІЗАЦІЯ ТРІЩИНУВАТОСТІ ЗА РЕЗУЛЬТАТАМИ ГЕОЛОГІЧНОЇ ІНТЕРПРЕТАЦІЇ МАТЕРІАЛІВ ГЕОФІЗИЧНИХ ДОСЛІДЖЕНЬ СВЕРДЛОВИН

© А.В. Хтема, 2010

Товариство з обмеженою відповідальністю "Феррекспо сервіс", Київ, Україна

Executed research work shows additional possibilities of a new knowledge receiving by means of geological interpretation of well logging. The nature of jointing of water-oil and gas mass was studied thought the instrumentality of physico-mathematical models.

Keywords: drill hole (well), geological interpretation, reservoir type anomaly (flat spot), natural reservoir, fracturing, porosity, geological parameters, isochronous intervals, stratigraphic unconformity, hydrocarbon saturation.

Знання деяких принципів легко компенсує незнання деяких фактів.

K. Гельвецій

Відомо, що значна частина світових запасів нафти і газу приурочена до колекторів тріщинувато-порового типу. Тріщинуватість геологічного середовища зумовлює існування ділянок високорентабельного видобутку вуглеводнів і є неодмінним чинником формування їх комерційних скучень навіть у низькопористих утвореннях. Інтенсивність тріщинуватості, як правило, збільшується із зростанням глибини, а розкриття колекторів тріщинувато-порового типу в деяких випадках спричиняє значні ускладнення під час буріння та освоєння свердловин. Характерною особливістю тріщинуватості є її висока чутливість до зменшення пластового тиску, оскільки збільшення ефективного напруження спричинює швидке змикання тріщин та суттєве зменшення проникності. На цей час не існує загальновизнаного способу оцінки тріщинуватості геологічного середовища за допомогою геофізичних методів досліджень свердловин, а її масштабність призводить до недостатньої інформативності результатів петрофізичних досліджень спорадично відібраного керна [1–7].

Появу тріщинуватості, зазвичай, спричиняють змінні в часі зовнішні сили, під дією яких послаблюються та руйнуються внутрішні структурні зв'язки між окремими елементами мінерального скелета. В процесі розривних деформацій по поверхні водно-колоїдної плівки, що облямовує мінеральні часточки, порушується тою чи іншою мірою цілісність геологічного середовища, тому

тріщинуватість є неодмінним атрибутом його напружено-деформованого стану, а міжзернова та тріщинувата порожнистість – окремими різновидами загальної порожнистості. Рух природного розчину одночасно відбувається як по гідродинамічно сполучених (відкритих) порах, так і по системі гідродинамічно сполучених (відкритих) тріщин.

У статті розглянуто результати вирішення сукупності геоінформаційних задач стосовно візуалізації тріщинуватості геологічного середовища – другого етапу розпочатих раніше досліджень з виявлення аномалій типу “поклад” за допомогою геологічної інтерпретації каротажних діаграм¹ та створення інтегральних фізико-математичних моделей² геопараметрів, що зумовлюють зміни в траєкторії та швидкості руху природного розчину [8].

З метою конкретизації показників тріщинуватості, задіяних у дослідженнях, надаємо їм зміст, якого будемо дотримуватись у подальшому.

Коефіцієнт ситуативної порожнистості тріщин (m_{tr}) – чисрова безрозмірна величина, яка характеризує поточно змінне відношення об’єму мега-, макро- і мікротріщин (V_{tr} , тис. м³) до загального об’єму геологічного середовища, досліджуваного на певному проміжку часу в межах локальної ділянки формального простору (V , тис. м³):

$$m_{tr} = V_{tr} / V. \quad (1)$$

Коефіцієнт порожнистості ситуативно-відкритих тріщин (m_{tr}, v) – величина, яка характеризує відношення об’єму гідродинамічно сполучених

¹ Геологічна інтерпретація каротажних діаграм – опосередковане визначення за допомогою строго формалізованих процедур природного стану геологічного середовища через величини, виміряні за даними геофізичних досліджень свердловин.

² Фізико-математична модель геологічного середовища – заміна геологічних явищ і реального часопростору математичними символами та числовими знаками так, щоб у формальному просторі збереглась їхня фізична сутність.

чених між собою мега-, макро- і мікротріщин (${}^pV_{tr} v$) до загального об'єму геологічного середовища:

$${}^p m_{tr} v = {}^p V_{tr} v / {}^p V. \quad (2)$$

Коефіцієнт порожнисності ситуативно-закритих тріщин (${}^p m_{tr} z$):

$${}^p m_{tr} z = {}^p V_{tr} z / {}^p V, \quad (3)$$

де ${}^p V_{tr} z$ – об'єм закритих тріщин.

Коефіцієнт ситуативної міжзернової порожнисності (${}^p m_z$) – величина, яка характеризує відношення об'єму міжзернової порожнисності (${}^p V_z$) до загального об'єму геологічного середовища:

$${}^p m_z = {}^p V_z / {}^p V, \quad (4)$$

$${}^p m = {}^p m_{tr} + {}^p m_z, \quad (5)$$

де ${}^p m$ – коефіцієнт ситуативної загальної пористості [8].

Коефіцієнт міжзернової ситуативно-відкритої порожнисності (${}^p m_z v$):

$${}^p m_z v = {}^p V_z v / {}^p V, \quad (6)$$

де ${}^p V_z v$ – об'єм відкритих міжзернових пор.

Коефіцієнт міжзернової ситуативно-закритої порожнисності (${}^p m_z z$):

$${}^p m_z z = {}^p V_z z / {}^p V, \quad (7)$$

де ${}^p V_z z$ – об'єм закритих міжзернових пор.

Коефіцієнт ситуативної тріщинуватості (${}^p K_{tr}$):

$${}^p K_{tr} = {}^p V_{tr} / {}^p V_z = {}^p m_{tr} / {}^p m_z. \quad (8)$$

Значення ${}^p K_{tr}$ використано як оцінювальний критерій. Залежно від його величини формальний геологічний простір умовно розподілено на такі середовища:

- порове (П) – $0 \leq {}^p K_{tr} < 0,1$;
- порово-тріщинувате (ПТ) – $0,1 \leq {}^p K_{tr} < 1$;
- тріщинувато-порове (ТП) – $1 \leq {}^p K_{tr} < 10$;
- тріщинувате (Т) – ${}^p K_{tr} \geq 10$.

Відповідно до існуючої класифікації способів отримання нової геологічної інформації [9], відомості про тріщинуватість напружено-деформованого геологічного середовища були отримані опосередковано – через трансформацію у математичному вигляді особливостей хвильової геометрії діаграм каротажу, використання нелінійних принципів їх інтерполяції та екстраполяції в позасвердловинному просторі за фізичними міркуваннями в діапазоні залягання ізохронних інтервалів відонафтогазоносної міжреперної товщі xt-13/16 N-ського родовища [8].

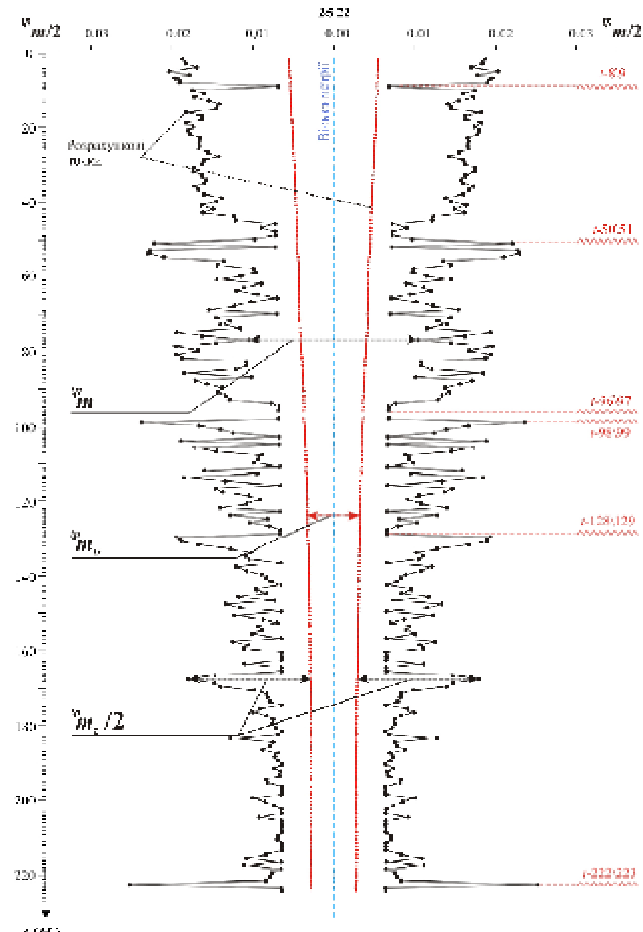
З метою покращання візуального сприйняття даних, зображеніх на рис. 1–3 та рис. 7, ізо-

хронні інтервали, різні за проміжками безрозмірного геологічного часу (t) та глибиною (H), розглянуту як однакові.

На рис. 1 представлена вертикальні трубки загальної пористості, порожнисності тріщин та міжзернової порожнисності, отримані за допомогою геологічного каротажу³ у вузловій точці 25/22.

Найхарактерніші конфігурації вертикальних трубок порожнисності тріщин, що розраховані в різних вузлових точках, та їх взаємозв'язок із похованими стратиграфічними неузгодженнями (інтервали $t-8\backslash 9$, $t-50\backslash 51$, $t-96\backslash 97$, $t-98\backslash 99$, $t-128\backslash 129$, $t-222\backslash 223$) зображені на рис. 2.

Рис. 3 відображає характер змін з глибиною максимальних значень коефіцієнтів загальної пористості та тріщинуватості для кожного окремого ізохронного інтервалу в межах всієї ділянки дослідження. Зіставлення з гістограмою розподілу по розрізу кількості продуктивних свердловин дало можливість установити три рівні аномально високої тріщинуватості, які тісно пов'язані із поверхнями похованих стратиграфічних неузгоджень, та закономірний зв'язок між локальним максимумом коефіцієнта загальної пористості і нафтога-



Rис. 1. Площа N. Товща xt-13/16. Вузлова точка 25/22. Вертикальні трубки загальної пористості (${}^p m$), порожнисності тріщин (${}^p m_{tr}$) та міжзернової порожнисності (${}^p m_z$).

³Геологічний каротаж – множина розрахунків, які здійснюють у межах фізико-математичної моделі геологічного середовища з метою отримання в заданому напрямку в числовому та графічному вигляді характеристик окремих фізичних параметрів гірських порід і природного розчину залежно від глибини або часу.

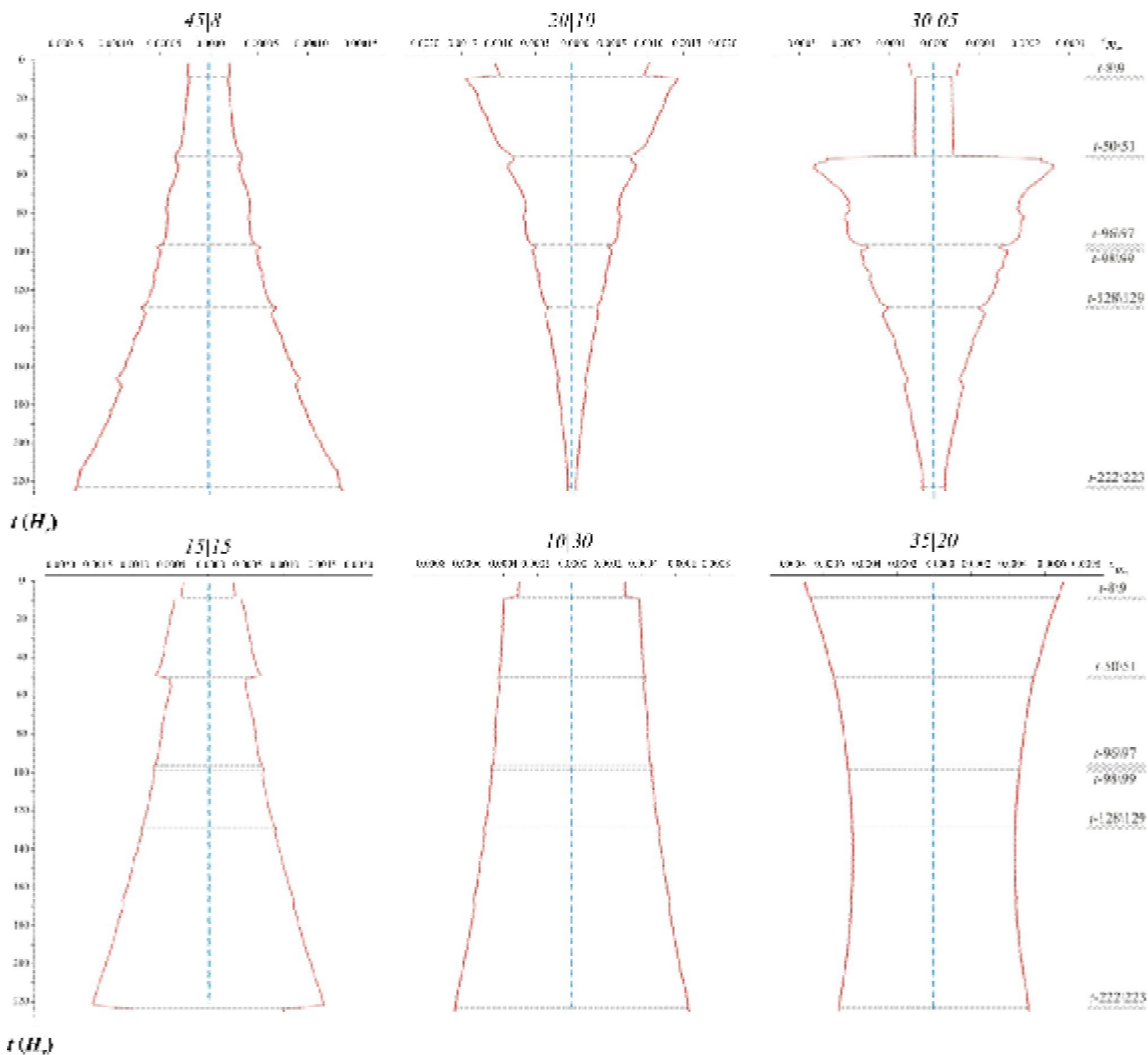


Рис. 2. Площа N. Товща xt-13/16. Характерні конфігурації вертикальних трубок порожністості тріщин (${}^p m_{tr}$)

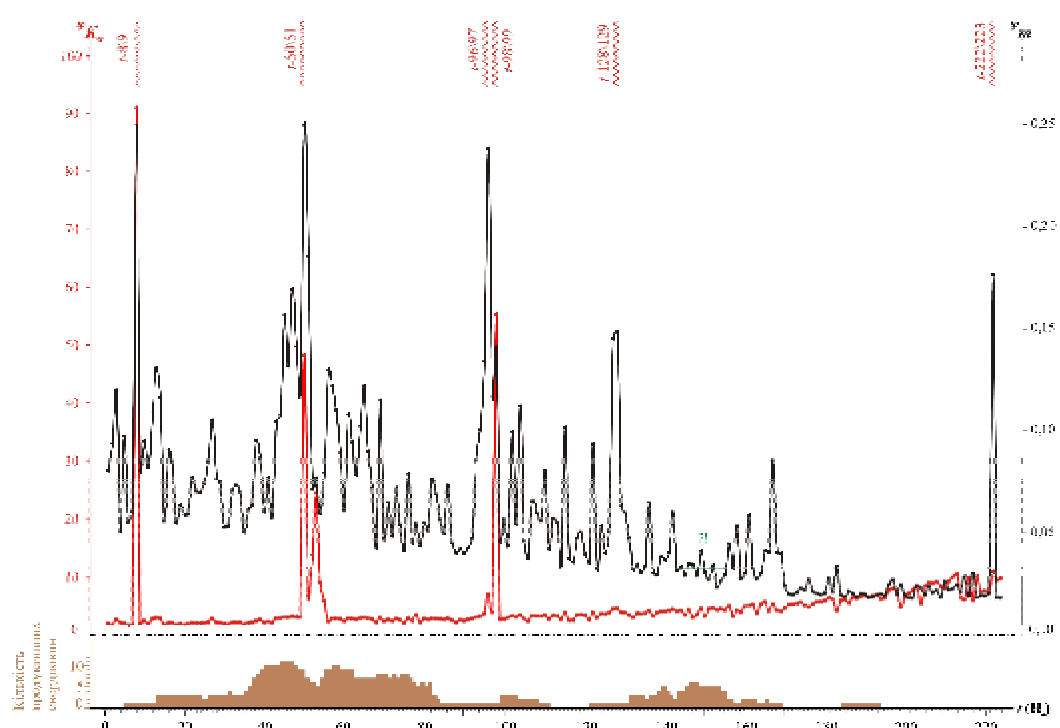


Рис. 3. Площа N. Товща xt-13/16. Діаграми максимальних значень коефіцієнтів тріщинуватості (${}^p K_{tr}$) та загальної пористості (${}^p m_p$)

зонасністю інтервалу $xt-35/84$, частка видобутку вуглеводнів із якого становить 80 % накопичено-го видобутку в цілому по родовищу. Звертає на себе увагу значна тріщинуватість низькопористо-го інтервалу $t-52/55$, літологічно представленого переважно глинистими утвореннями, які просто-рово розміщуються у товщі з максимальною нафтогазоносністю.

Принагідно зазначимо, що підвищена про-никність глинистих порід у межах продуктивного розрізу, яка пояснюється їх тріщинуватістю, була встановлена і під час дослідження процесу фільтрації флюїдів за результатами експлуатації Шебельинського газоконденсатного родовища [10].

На особливу увагу заслуговує і те, що локаль-ний максимум нафтогазоносності в діапазоні $t-143/155$ (на рис. 3 позначені знаками “?!”), представлений ізохронними інтервалами потуж-ністю від 0,4 до 1,5 м, які характеризуються роз-рахованими значеннями коефіцієнта загальної по-ристості 0,020–0,040. У цьому діапазоні в розрізі опорної св. 1 для теригенних нафтогазонасичених колекторів за результатами геофізичної інтерпре-тації діаграм ГДС коефіцієнти пористості сяга-ють значень 0,08–0,011.

Якщо врахувати застереження фізики-теоре-тика В. Гейзенберга стосовно того, що “...те, що ми спостерігаємо – це не сама природа, – а при-рода, яка виступає в тому вигляді, в якому вона виявляється завдяки нашему способу постановки питань”, то існування розбіжностей пояснюється тим, що розраховані значення тих чи інших геопараметрів, числові значення яких умовно приурочені до окремих взаємопов’язаних вузло-вих точок інтегральної фізико-математичної моделі, характеризують усереднені властивості гео-логічного середовища. Проте невідповідність між дискретністю розрахункових точок (РТ) по вер-тикалі (0,4–1,5 м) і горизонталі (100 м), що зу-мовлено сіткою пробурених свердловин, за наяв-ності прошарків невеликої потужності та обмеженого їх поширення по плоші в умовах, коли літологічно “однорідні” пласти є різновіко-вими в різних своїх частинах (закон М.А. Голов-кінського), може спричинити появу певних роз-біжностей між реально існуючими та розрахованими величинами.

За ситуації, що зображена на рис. 4, яка є однією із можливих, прошарок піщано-алевролі-тових відкладів з коефіцієнтом загальної порис-тості 0,10 і площею поширення 50×50 м разом з глинисто-алевролітовими утвореннями із коефі-цієнтом загальної пористості 0,01 в межах еле-ментарної комірки 100×100 м характеризувати-меться фактично неспостережуваним усередненим коефіцієнтом пористості 0,03. Тому ймовірність появи недостатньо коректного, з геологічного по-гляду, результату, який одночасно є коректним з

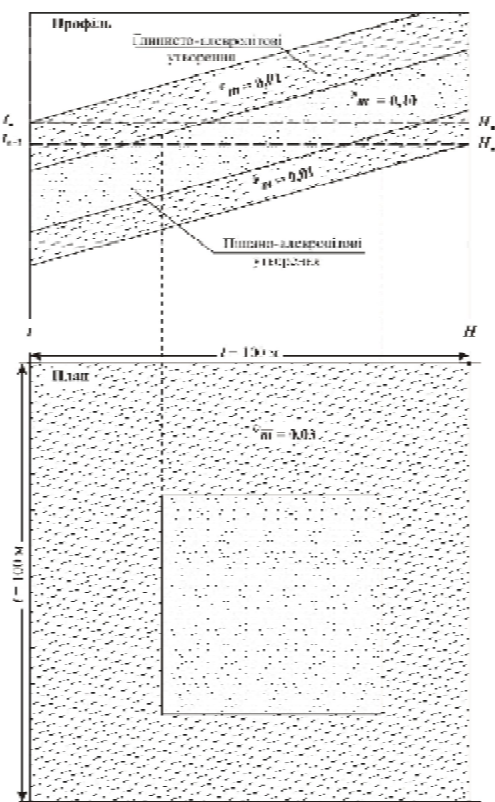


Рис. 4. Середня загальна пористість (\bar{m}) геологічних утво-рень у межах елементарної комірки

позицій абстрактної математики, потребує гармо-нізації дискретності РТ і по вертикалі, і по гори-зонталі та створення методології та технології роз-рахунків точкових фізико-математичних моделей. Враховуючи те, що “жоден із геофізичних ме-тодів не дає змоги надійно класифікувати колек-торні пласти на нафтоносні і водоносні” [11, с. 17], використання під час геологічної інтерпре-тації каротажних діаграм не лише інтегральних, а й точкових фізико-математичних моделей сприятиме виявленню у розрізі раніше пробуре-них свердловин пропущених нафтогазоносних об’єктів.

За допомогою картографічної моделі числових значень коефіцієнтів тріщинуватості (\bar{K}_t) міжре-перної товщі $xt-13/16$ локалізовано ділянку ма-ксимальної тріщинуватості, або максимального роз-витку розривних деформацій, яка розташована у контурі максимальних питомих нафтогазонасиче-них об’ємів (рис. 5).

Рис. 6 ілюструє наявність в умовах переходу від низькопористих до високопористих утворень наскрізного субвертикально розташованого об’єкта, у межах якого формальне геологічне середовище характеризується аномально високою тріщинува-тістю.

На рис. 7 зображені результати досліджень характеру тріщинуватості та фільтраційно-ємнісних властивостей товщі $xt-13/16$ у точках, що розташовані в межах ділянок максимальних

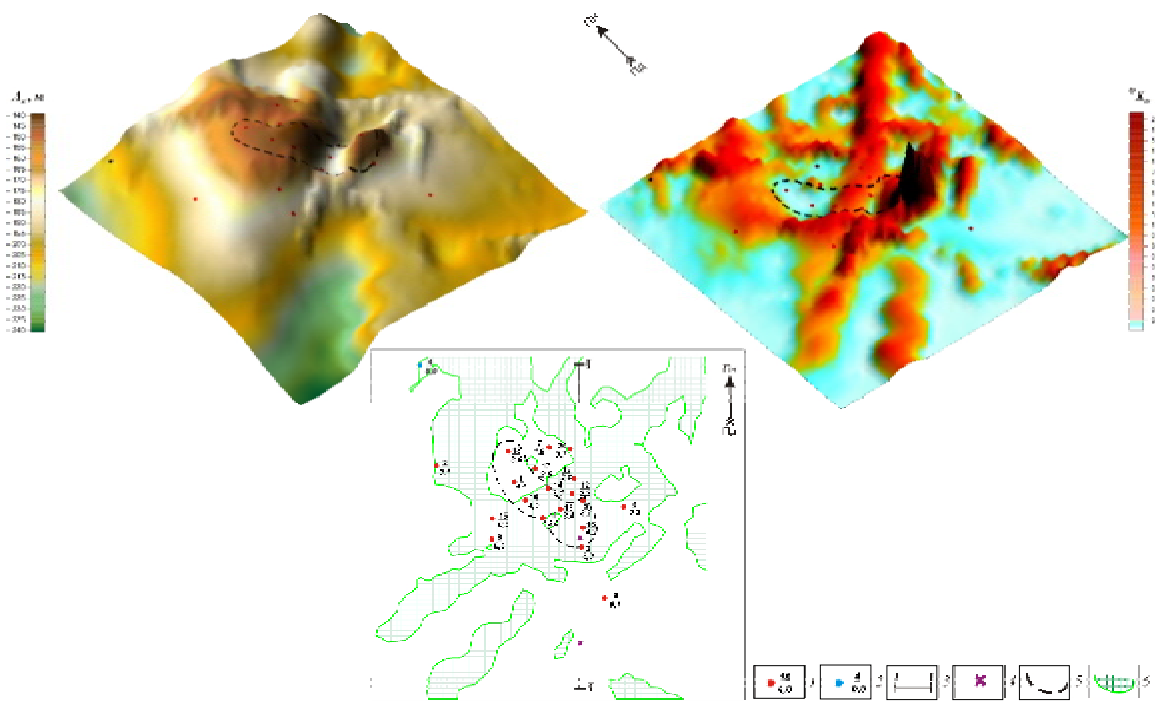


Рис. 5. Площа N. Товща xt-13/16. Картографічні моделі гіпсометрії покрівлі (A_s) і коефіцієнта тріщинуватості (pK_p): 1 – свердловини продуктивні, за даними геофізичної інтерпретації діаграм ГДС (номер свердловини/питомий нафтогазонасичений об'єм); 2 – свердловина непродуктивна; 3 – профіль по лінії I–I; 4 – вузлові точки; 5 – контур максимальних питомих нафтогазонасичених об'ємів ($V = hmK_{nr}$, де h – ефективна нафтогазонасичена потужність, м; m – коефіцієнт відкритої пористості; K_{nr} – коефіцієнт нафтогазонасиченості); 6 – контур коефіцієнта тріщинуватості ${}^pK_p \geq 0,1$

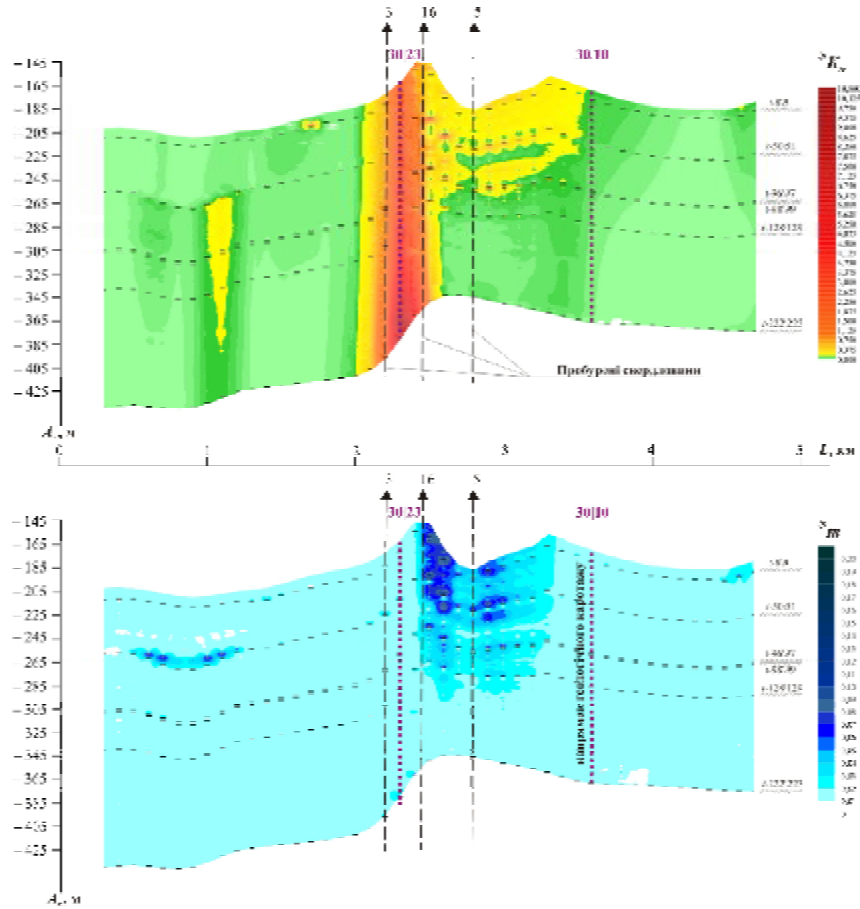


Рис. 6. Площа N. Товща xt-13/16. Масив значень коефіцієнтів тріщинуватості (pK_p) і загальної пористості (m). Профіль по лінії I–I

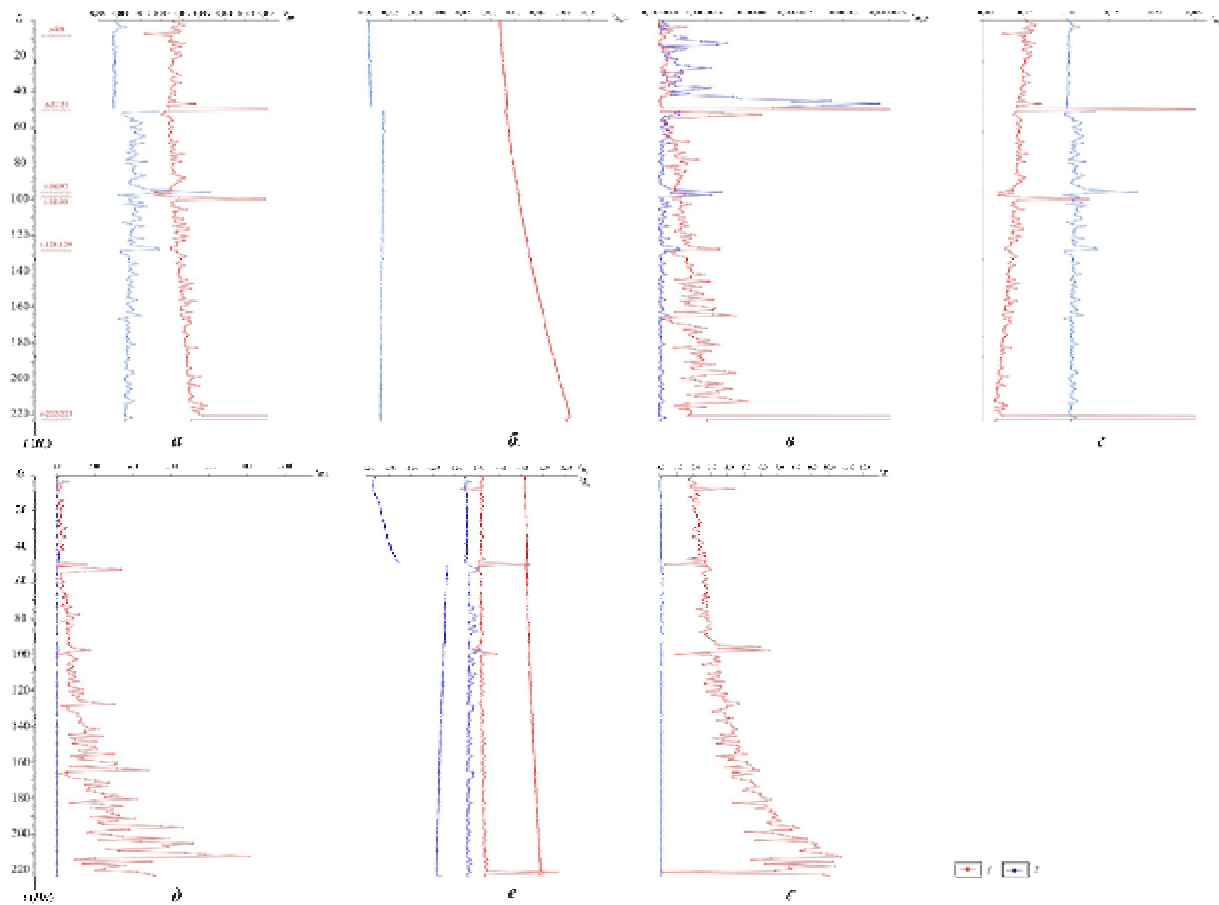


Рис. 7. Площа N. Товща xt-13/16. Вузлові точки 30|23 (1) і 30|10 (2). Діаграми фільтраційно-ємнісних властивостей та тріщинуватості геологічного середовища за результатами вертикального геологічного каротажу

(вузлова точка 30|23) і мінімальних розривних деформацій (вузлова точка 30|10). У результаті їх зіставлення встановлено низку відмінностей (див. порівняльну таблицю).

Рис. 8, а демонструє не лише наявність однакової, незалежно від глибини, фізико-математичної поведінки окремих різновидів осадових утворень, а й прогресуюче зростання їх тріщинуватості в межах ділянки максимального розвитку розривних деформацій. В цих умовах навіть незначне зменшення об'єму міжзернової порожнистості, відповідно до принципу Ле Шательє—Брауна, коли “кожна дія, що виводить будь-яку систему із рівноваги, зумовлює в ній процеси, які спрямовані на послаблення її результату”, спричиняє значне зростання тріщинуватості. Тому осадові утворення з надвисоким ступенем ущільнення мінерального каркасу, в принципі, можуть одночасно набувати і властивостей надрозущільненого середовища. Таким чином, діалектичне поєднання взаємовиключних фізичних характеристик створює необхідні передумови для подальшого переходу речовини із твердого стану

Порівняльна таблиця

Параметр	Вузлова точка 30 23	Вузлова точка 30 10
Коефіцієнт ситуативної загальної пористості (${}^p m$, рис. 7, а)	Збільшується з глибиною	Зменшується з глибиною
Коефіцієнт порожнистості ситуативно-відкритих тріщин (${}^p m_v$, рис. 7, б)	Те саме	Те саме
Коефіцієнт порожнистості ситуативно-закритих тріщин (${}^p m_z$, рис. 7, в)	”	”
Коефіцієнт міжзернової ситуативно-відкритої порожнистості (${}^p m_z v$, рис. 7, г)	Значення < 0,01	Значення > 0,01
Коефіцієнт міжзернової ситуативно-закритої порожнистості (${}^p m_z z$, рис. 7, д)	Збільшується з глибиною	Міжзернові ситуативно-закриті пори практично відсутні
Коефіцієнт активної проникності [8] (${}^p k_a$, рис. 7, е)	> ${}^p k_m$ – коефіцієнт проникності [8]. Збільшується з глибиною	< ${}^p k_m$. Зменшується з глибиною
Коефіцієнт ситуативної тріщинуватості (${}^p K_{tr}$, рис. 7, е)	Збільшується з глибиною. П-середовище відсутнє. Частка ПТ – 0,0145; ТП – 0,9632; Т – 0,0223	Зменшується з глибиною. Частка П – 0,2471; ПТ – 0,7529; ТП і Т відсутні
Статистично значущий взаємозв'язок між коефіцієнтами тріщинуватості (${}^p K_{tr}$) та відкритої міжзернової порожнистості (${}^p m_z v$, рис. 8, а, б)	Існує	Відсутній

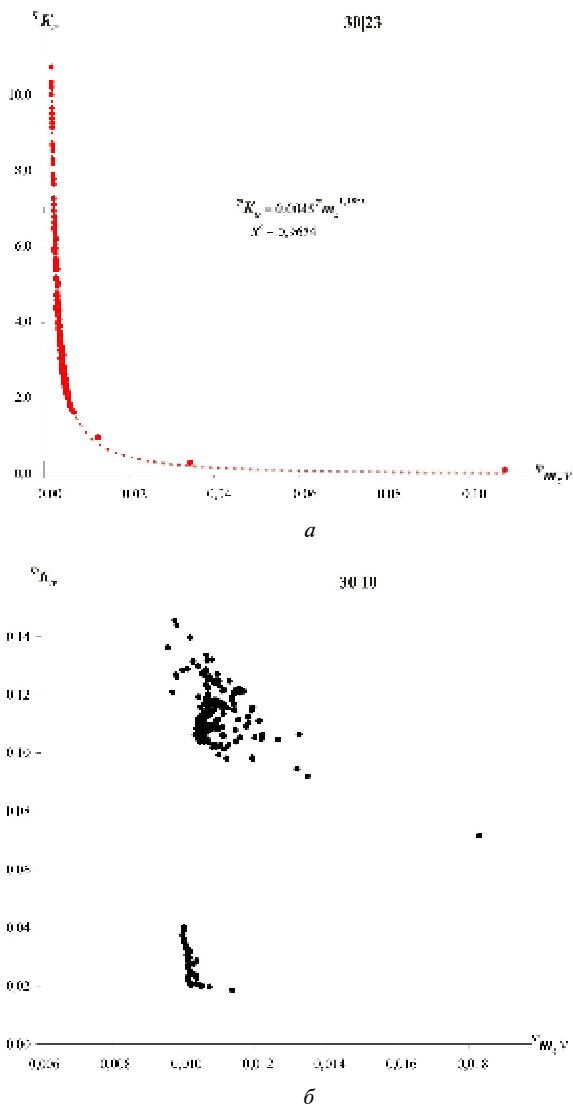


Рис. 8. Площа N. Товща xt-13/16. Вузлові точки 30|23 та 30|10. Характер залежностей між коефіцієнтами тріщинуватості (K_f) та міжзернової відкритої порожнинності (m_z)

в аморфний, коли різнерідна консолідована речовина починає вести себе і як однорідна високо-в'язка рідина.

Тенденції, зафіксовані на рис. 9, а, б, свідчать про існування в межах ділянки максимального розвитку розривних деформацій точки псевдорозривного двоєння, з координатами у цьому конкретному випадку $m = 0,012$; $m_z = m_{\nu} = 0,006$, “перестрибнувши” яку, порово-тріщинувате середовище стає тріщинувато-пористим.

Отже, відтворення за допомогою математичних символів і числових знаків 5-вимірного континууму (X, Y, Z, t , показники тріщинуватості) дало змогу не тільки підвищити інформативність геологічної інтерпретації каротажних діаграм, а й отримати низку конкретних ознак, які можна використовувати як діагностичні для виявлення ділянок максимального розвитку розривних деформацій.

Підбиваючи підсумок вищевикладеному, зачітко, що існування об'єктів з діаметрально про-

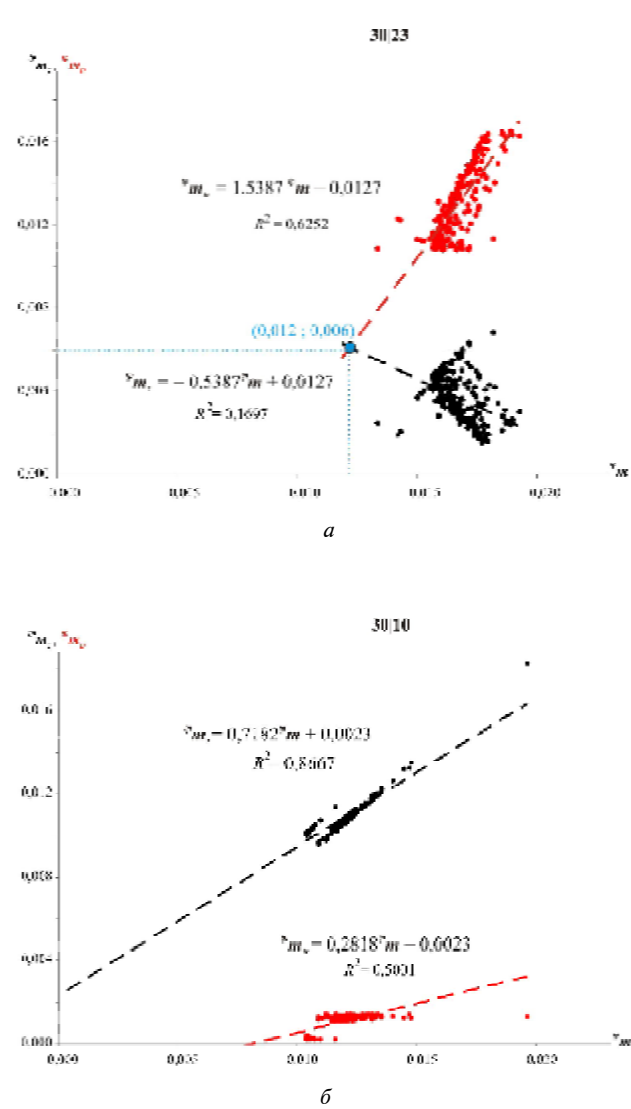


Рис. 9. Площа N. Товща xt-13/16. Вузлові точки 30|23 та 30|10. Характер залежностей між коефіцієнтами міжзернової порожнинності (m_z), порожнинності тріщин (m_{ν}) і загальної пористості (m)

тилежними тенденціями і суттєві відмінності між фільтраційно-ємнісними властивостями міжзернової та тріщинуватої порожниності прямо вказують на можливість функціонування в межах водонафтогазоносної товщі xt-13/16 гідродинамічно двоякого середовища. Останнє потрібно враховувати при визначенні швидкості фільтрації та траєкторії руху висхідних і низхідних потоків природного розчину окремо, як по системі гідродинамічно сполучених пор, так і по системі гідродинамічно сполучених тріщин.

1. Дмитриевский А.Н., Баланюк И.Е., Донгарян Л.Ш. и др. Современные представления о формировании скоплений углеводородов в зонах разуплотнения верхней части коры // Геология нефти и газа. – 2003. – № 1. – С. 2–8.
2. Маєвський Б.Й., Манюк М.І., Храбатинко І.В., Хомін В.Р. Вплив тектонічної тріщинуватості на характер нафтоносності та продуктивності свердловин на родовищах Прикарпаття // Теоретичні та при-

- кладні проблеми нафтогазової геології та промислової геофізики: Зб. наук. праць. – К., 2000. – С. 110–118.
3. Бембель Р.М., Мегеря В.М., Бембель С.Р. Поиски и разведка месторождений углеводородов на базе геосолитонной концепции дегазации Земли // Геология нефти и газа. – 2006. – № 2. – С. 2–7.
 4. Лопатин Н.В., Зубайраев С.Л. Природные резервуары в кремнисто-глинистых нефтематеринских толщах как перспективный источник коммерческой нефтеносности // Нефть и газ. – 2006. – № 1. – С. 8–24.
 5. Лимбергер Ю. Расчеты и просчеты // Нефтегаз. вертикаль. – 2005. – № 3. – С. 8–15.
 6. Омельченко В.Г., Трубенко О.М. Оцінка розкритості тріщин при проведенні гідродинамічних досліджень. Наук.-техн. конф. “Перспективи нарощування та збереження енергетичних ресурсів України”: Зб. наук. праць. – Івано-Франківськ: Факел, 2006. – С. 80–84.
 7. Толстой М.И., Гожик А.П. “Динамическая” петрофизика и основные перспективы ее использования // Геофиз. журн. – 2007. – № 3. – С. 15–24.
 8. Хтема А.В., Хтема В.М. Пізнавальні аспекти візуалізації фільтраційно-ємнісних властивостей водонафтогазоносних надр у міжреперному просторі // Геоінформатика. – 2009. – № 4. – С. 64–79.
 9. Червонний В.Г. Четыре пути получения новой геологической информации об одиночных объектах // Мінеральні ресурси України. – 2007. – № 4. – С. 30–34.
 10. Огняник М.С., Лютий Г.Г. Передумови фільтрації флюїдів через слабопроникні шари глинистих порід глибоких горизонтів Дніпровсько-Донецької западини // Зб. наук. праць. – К.: УкрДГРІ, 2005. – Вип. 2. – С. 161–172.
 11. Хургин Я.И. Проблемы неопределенности в задачах нефти и газа. – Москва; Ижевск: Ин-т комп'ют. исследований, 2004. – 320 с.

Надійшла до редакції 23.04.2009 р.

A. В. Хтема

ВІЗУАЛІЗАЦІЯ ТРИЩИНУВАТОСТІ ЗА РЕЗУЛЬТАТАМИ ГЕОЛОГІЧНОЇ ІНТЕРПРЕТАЦІЇ МАТЕРІАЛІВ ГЕОФІЗИЧНИХ ДОСЛІДЖЕНЬ СВЕРДЛОВИН

Розглянуто додаткові можливості отримання нових знань за геологічної інтерпретації каротажних діаграм. За допомогою інтегральних фізико-математичних моделей досліджено характер тріщинуватості водонафтогазоносної товщі.

Ключові слова: свердловина, геологічна інтерпретація, аномалія типу “поклад”, колектор, тріщинуватість, пористість, геопараметри, ізохронні інтервали, стратиграфічні неузгодження, нафтогазоносність.

A. В. Хтема

ВИЗУАЛИЗАЦИЯ ТРЕЩИНОВАТОСТИ ПО РЕЗУЛЬТАТАМ ГЕОЛОГИЧЕСКОЙ ИНТЕРПРЕТАЦИИ МАТЕРИАЛОВ ГЕОФИЗИЧЕСКИХ ИССЛЕДОВАНИЙ СКВАЖИН

Рассмотрены дополнительные возможности получения новых знаний при геологической интерпретации каротажных диаграмм. С помощью интегральных физико-математических моделей исследован характер трещиноватости водонефтегазоносной толщи.

Ключевые слова: скважина, геологическая интерпретация, аномалия типа “залежь”, коллектор, трещиноватость, пористость, геопараметры, изохронный интервал, стратиграфические несогласия, нефтегазоносность.